Formes modulaires et leurs applications

Farrell Brumley IMJ-PRG Sorbonne Université

Maths en mouvement 2025 Théorie des nombres Reconnaissez-vous la suite

$$0, 1, 2, 4, 5, 8, 9, 10, 13, 16, 17, 18, 20, 25, 26, 29, \ldots$$
?

Ce sont les entiers qui sont sommes de deux carrés : $n = a^2 + b^2$.

Question de nos ancêtres

Quand est-ce qu'on peut représenter un entier positif par une somme de k carrés, avec $k \ge 2$?

 \diamond Aspect arithmétique : représenter un entier par une forme quadratique en k variables : ici

$$q(x_1,...,x_k) = x_1^2 + \cdots + x_k^2$$
.

La question se pose pour des formes quadratiques plus générales.

 \diamond Aspects géométriques et statistiques : il s'agit des points entiers sur une sphère de rayon \sqrt{n} en dimension k, car

$$q(x) = n$$
 signifie $x \in \mathbb{Z}^k$ tel que $||x||^2 = n$.

Lagrange (1770)

Tout entier positif est somme de 4 carrés.

Ainsi tout nombre positif est somme de $k \ge 4$ carrés.

Le cas de deux carrés est plus subtil: la suite est lacunaire.

Par exemple, si p est un nombre premier, Fermat a observé que

$$p = \Box + \Box$$
 si, et seulement si, $p \equiv 1 \mod 4$.

En revanche, que p soit congru à 1 ou 3 modulo 4, les puissances paires vérifient bien évidemment $p^{2\alpha} = \Box + \Box$.

Euler (1749)

Un entier positif n est somme de 2 carrés précisément lorsque

les nombres premiers $p \equiv 3 \mod 4$ qui divisent n le divisent par une puissance paire. On pose

$$R_k(n) = \{x \in \mathbb{Z}^k : ||x||^2 = n\}.$$

On peut essayer de calculer le nombre de solutions $r_k(n) = |R_k(n)|$.



Les premiers cas pairs k = 2, 4, 6, 8 sont dûs à Jacobi.

Le cas de k=2

Jacobi (1829)

On a

$$r_2(n) = 4(d_1(n) - d_3(n)),$$

οù

$$d_a(n) = \sum_{\substack{d \mid n \\ d \equiv a \bmod 4}} 1.$$

Par exemple,

- \diamond si $p \equiv 1 \mod 4$ nous avons $r_2(p) = 8$, en comptant les changements de signes et d'ordre;
- \diamond si $p \equiv 3 \mod 4$ alors $d_1(p) = d_3(p) = 1$ et nous avons $r_2(p) = 0$, comme prévu par Euler.

Fundamenta Nova Theoriae Functionum Ellipticarum

Jacobi (1829)

Pour tout $n \in \mathbb{N}$ on a

$$\begin{split} r_4(n) &= 8 \sum_{\substack{d \mid n \\ 4 \nmid d}} d, \\ r_6(n) &= 16 \sum_{\substack{d \mid n}} \chi(n/d) d^2 - 4 \sum_{\substack{d \mid n}} \chi(d) d^2, \end{split}$$

où $\chi(d)=1,0,-1$ selon la classe de d modulo 4, et

$$r_8(n) = 16 \sum_{d|n} (-1)^{n+d} d^3.$$

D'autres formules, sous forme

$$r_k(n) = \sum_{k} (\text{poids}) d^{k/2-1} + O(d^{k/4-1/2}),$$

sont disponibles pour k > 8 pair, par les travaux de Deligne (1974).

Formes modulaires

Les **formes modulaires** sont des fonctions holomorphes sur le disque hyperbolique

$$\mathbb{U} = \{ z \in \mathbb{C} : |z| < 1 \}, \qquad ds^2 = \frac{dx^2 + dy^2}{(1 - x^2 - y^2)^2},$$

qui se transforment par un

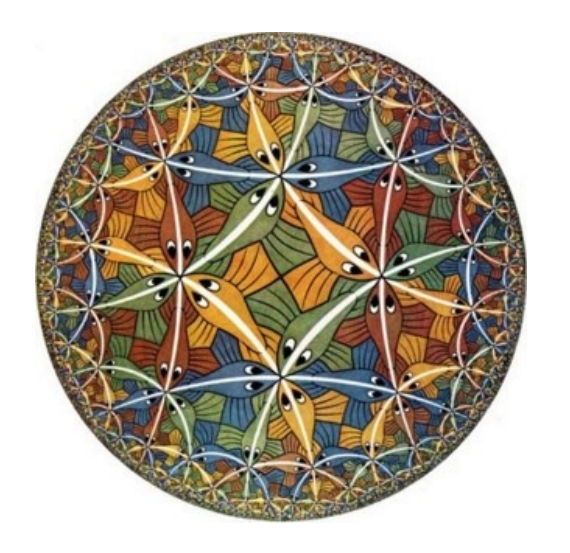
groupe discret de symétries arithmétiques,

tel que (un conjugué dans $SL_2(\mathbb{C})$ de)

$$\mathrm{SL}_2(\mathbb{Z})=\left\{g\in M_2(\mathbb{Z}): \det g=1
ight\}.$$



L'artiste néerlandais M.C. Escher (1898-1972) s'est inspiré des tesselations du disque hyperbolique pour une série d'oevres.



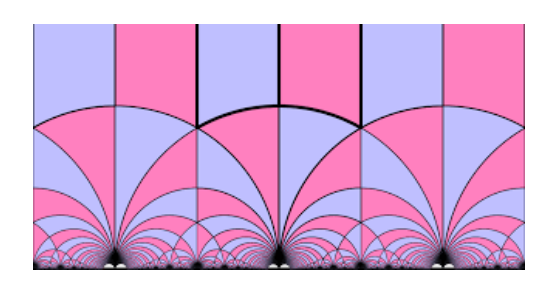
Escher: Circle Limit III (1959)

Plus exactement, une forme modulaire de poids $\kappa \in \mathbb{N}$ pour un sous-groupe discret $\Gamma < \operatorname{SL}_2(\mathbb{Z})$ est une fonction holomorphe $f: \mathbb{H} \to \mathbb{C}$ sur le demi-plan de Poincaré

$$\mathbb{H} = \{ z \in \mathbb{C} : \operatorname{Im} z > 0 \}, \qquad ds^2 = y^{-2} (dx^2 + dy^2),$$

de croissance modérée, qui se transforme selon la règle

$$f\left(\frac{az+b}{cz+d}\right)=(cz+d)^{\kappa}f(z), \qquad \begin{pmatrix} a & b \\ c & d \end{pmatrix} \in \Gamma.$$



Une tessellation de \mathbb{H} par les symétries de $\Gamma = \mathrm{SL}_2(\mathbb{Z})$

La fonction Δ de Ramanujan

Lorsque $\Gamma = \operatorname{SL}_2(\mathbb{Z})$, l'espace quotient $Y = \operatorname{SL}_2(\mathbb{Z}) \backslash \mathbb{H}$ s'appelle **la courbe modulaire**. Les points de Y correspondent aux courbes elliptiques définies sur \mathbb{C} , à isomorphisme près:

$$\mathrm{SL}_2(\mathbb{Z}).z \longleftrightarrow [E_z = \mathbb{C}/\Lambda_z], \quad \Lambda_z = \mathbb{Z}.z + \mathbb{Z} \subset \mathbb{C}.$$

La fonction $\Delta(z) = \operatorname{Disc}(E_z)$ de Ramanujan (1887-1920)



est une forme modulaire de poids 12 pour $SL_2(\mathbb{Z})$, dite **parabolique**.

Preuve du théorème de Jacobi

Soit

$$\Gamma_0(4) = \left\{ \begin{pmatrix} a & b \\ c & d \end{pmatrix} \in \operatorname{SL}_2(\mathbb{Z}) : c \equiv 0 \mod 4 \right\}.$$

L'une des propriétés fondamentales des formes modulaires pour $\Gamma_0(4)$ est qu'elles possèdent un **développement de Fourier**

$$f(z) = \sum_{n \geq 0} a_n q^n, \qquad q = e^{2\pi i z},$$

dû à l'invariance f(z+1) = f(z).

Stratégie

Démontrer les formules de Jacobi à partir de deux constructions des formes modulaires de poids $\kappa = k/2 = 2, 3, 4$ pour $\Gamma_0(4)$:

- les séries d'Eisenstein,
- les séries thêta,

et une comparaison de leurs coefficients de Fourier.

Construction des formes modulaires I : séries d'Eisenstein

Certaines formes modulaires proviennent des espaces plus simples que la courbe modulaire. Par exemple, en partant de la fonction

$$\mathbb{C} \to \mathbb{C}, \qquad z \mapsto z^{-\kappa},$$

on peut construire, pour $\kappa > 2$, la série d'Eisenstein

$$G_{\kappa}(z): \mathbb{H} o \mathbb{C}, \qquad G_{\kappa}(z) = \sum_{\substack{\lambda \in \Lambda_z \ \lambda
eq 0}} \lambda^{-\kappa},$$

qui vérifie la propriété de transformation de poids κ par $\mathrm{SL}_2(\mathbb{Z})$.

Par leur construction simple, on peut calculer facilement les coefficients de Fourier des séries d'Eisenstein G_{κ} :

$$G_{\kappa}(z) = a + b \sum_{n \geq 1} \left(\sum_{d|n} d^{\kappa-1} \right) q^n,$$

pour des constantes $a, b \in \mathbb{C}^{\times}$.

Construction des formes modulaires II : séries thêta

De l'autre côté, avec $\kappa=k/2$, nous pouvons définir directement

$$\Theta_{\kappa}(z) = \sum_{n \geq 0} r_k(n) q^n,$$

ce qu'on appelle une *série thêta*. ($k \geq 4$ est pair, donc $\kappa \in \mathbb{N}_{\geq 2}$)

Fait fondamental (par la formule sommatoire de Poisson)

 Θ_{κ} est une forme modulaire de poids κ pour $\Gamma_0(4)$.

Comme en poids $\kappa = 2, 3, 4$, il n'y a pas de formes paraboliques:

 Θ_{κ} est combinaison linéaire des séries d'Eisenstein G_{κ} .

Une égalisation des coefficients de Fourier donne

 $r_k(n)$ est combinaison linéaire des sommes $\sum_{d|n} d^{k/2-1}$, ce qui démontre le théorème de Jacobi.

Aspects géométriques et statistiques

Des recherches plus récentes s'intéressent à la

distribution en espace

des solutions $R_k(d)$, lorsque $d \to \infty$.

Prenons le cas k = 3: $R_3(d) = \{(a, b, c) \in \mathbb{Z}^3 : a^2 + b^2 + c^2 = d\}$.

Legendre, Gauss (1801)

Soit $d \geq 1$ un entier sans facteurs carrés. Alors

$$R_3(d) \neq \emptyset$$
 si, et seulement si, $d \not\equiv 7 \mod 8$.

Dans ce cas, compter les solutions est déjà un sujet très riche.

Gauss (1801)

Si $d \not\equiv 7 \mod 8$ sans facteurs carrés, alors

$$r_3(d) = (12 \text{ ou } 24)|Cl_d|,$$

où Cl_d est le groupe de classes de $\mathbb{Q}(\sqrt{-d})$.

Comme

- $|\mathrm{Cl}_d| = (\mathrm{cste})\sqrt{d}L(1,\chi_d)$, par une formule de Dirichlet,
- $ext{ et } d^{-\epsilon} \ll_{\epsilon} L(1,\chi_d) \ll d^{\epsilon}$, par les travaux de Siegel, on en déduit que

$$d^{1/2-\epsilon} \ll_{\epsilon} r_3(d) \ll_{\epsilon} d^{1/2+\epsilon}$$
.

On constate la nature très différente des cas précédents $k \geq 2$ pair.

Pour d admissible (comme ci-dessus), on considère maintenant

$$\{x/\|x\|: x \in R_3(d)\} \subset S^2 = \{x \in \mathbb{R}^3: \|x\| = 1\},$$

la projection des solutions sur la sphère de rayon 1.

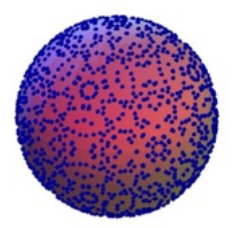


Figure: d=104851

On munit S^2 de sa mesure de Lebesgue μ_{S^2} , invariante par des rotations, normalisée pour donner une mesure de probabilité.

Iwaniec, Golubeva-Fomenko, Duke (1987-1988)

Lorsque $d \to +\infty$ le long des entiers d admissibles, les points

$$d^{-1/2}R_3(d) \subset S^2$$

deviennent équirépartis dans S^2 . Autrement dit, si $\Omega \subset S^2$ est un ouvert de bord négligeable, alors

$$\lim_{\substack{d \to +\infty \\ d \text{ admissible}}} \frac{|\{x \in R_3(d) : d^{-1/2}x \in \Omega\}|}{r_3(d)} = \mu_{S^2}(\Omega).$$

La preuve passe par les bornes sur les coefficients de Fourier des formes modulaires paraboliques de poids un *demi-entier* $\kappa = 3/2$.

D'autres preuves existent aujourd'hui, qui passent par les fonctions L des fonctions modulaires....

Formes paraboliques et fonctions L

Nous avons laissé de côté la forme parabolique

$$\Delta(z) = \operatorname{disc}(E_z) = q \prod_{n \ge 1} (1 - q^n)^{24} = \sum_{n \ge 1} \tau(n) q^n \quad (q = e^{2\pi i z}).$$

Ses coefficients de Fourier sont bien plus mystérieux que $\sum_{d|n} d^{\kappa-1}$.

Pour étudier les coefficients $\tau(n)$ on construit la série génératrice

$$L(s,\Delta) = \sum_{n>1} \frac{\tau(n)}{n^s} \qquad (\text{Re } s > 7),$$

appelée fonction L, généralisation de la fonction zêta de Riemann.

Mordell (1917), Hecke (1925)

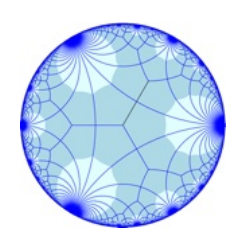
La fonction $L(s, \Delta)$

- **1** admet un *produit eulérien* $L(s,\Delta) = \prod_{p} (1-\tau(p)p^{-s}+p^{11-2s})^{-1}$, pour $\operatorname{Re} s > 7$, et
- **2** se prolonge en une fonction holomorphe sur \mathbb{C} telle que $\Lambda(s,\Delta) = \Lambda(12-s,\Delta)$, où $\Lambda(s,\Delta) = (2\pi)^{-s}\Gamma(s)L(s,\Delta)$.

Vers le monde p-adique (et l'exposé suivant)

Sur la courbe modulaire

$$Y=\mathrm{SL}_2(\mathbb{Z})\backslash\mathbb{H}=\{\mathrm{courbes\ elliptique}\ E\ \mathrm{sur}\ \mathbb{C}\}/\mathrm{iso},$$
 il existe des symétries cachées pour chaque nombre premier p : chaque E a $p+1$ voisins E_1,\ldots,E_{p+1} , p -isogènes à E .



Hecke a défini un opérateur T_p sur les formes modulaires

$$(T_p f)(E) = \sum_{i=1}^{p+1} f(E_i).$$

qui prend en compte cette symétrie et a montré $T_p\Delta = \tau(p)\Delta$.

Merci pour votre attention !

